

XeCl 激光泵浦 S₂ 分子获得紫外激光振荡*

张中华 唐晨 张华 于俊华 马祖光

(哈尔滨工业大学光电子技术教研室, 哈尔滨 150006)

摘要 本文报道利用 XeCl 准分子激光(308.1 nm)横向泵浦硫双原子分子激光器, 在近紫外谱区(330.9~390.0 nm)的六条谱带上获得激光振荡。计算并测量了 S₂ 分子的吸收系数及小信号增益系数, 从而确定了最佳泵浦波长。

关键词 硫双原子分子, 激光光谱, 吸收系数, 小信号增益系数。

1 引 言

硫双原子分子是一种高效率、高增益、低阈值、宽谱区可调谐激光介质^[1,2]。从 70 年代开始, 人们利用激光作泵浦源, 对硫双原子分子在 ($B^3\Sigma^- - X^3\Sigma^-$) 之间产生激光振荡作了较深入的研究, 获得了从 365.0~570.0 nm 光谱范围内的激光辐射^[3]。由于不同频率激光泵浦效率不同, 选择合适波长激光泵浦, 有着重要的意义。本文对 S₂ 分子的吸收谱进行了计算和测量, 并测量了小信号增益系数, 确定了最佳泵浦波长及有可能产生激光的谱区。利用较理想的波长为 308.1 nm 的 XeCl 准分子激光横向泵浦 S₂ 分子激光器, 首次获得最短波长延伸到 330.9 nm 的六条谱带激光振荡。

2 实验与结果分析

2.1 吸收系数的测量

以波长在 190.0~500.0 nm 的连续氘灯作为光源, 用光学多通道分析仪(OMA I)接收并处理信号, 对 S₂ 吸收系数进行了测量, 获得了不同温度条件下的吸收系数曲线。图 1 是测量装置图。“T”型硫蒸汽管由高温区 T_H 和低温区 T_L 两部分组成。均匀高温区用于控制 S₈, S₇, ..., S₃ 大分子解离成 S₂ 分子所需温度, 它也是光均匀吸收区, 长 30 cm; 低温区用于控制硫饱和蒸汽压大小。饱和蒸汽压与温度的关系由经验公式给出^[4]

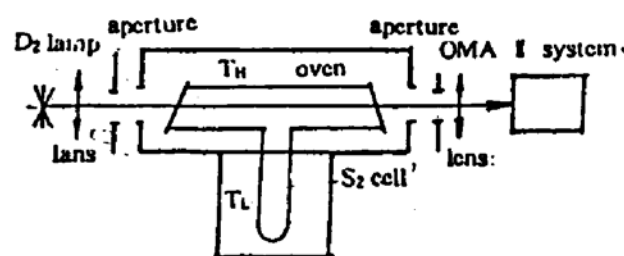


Fig. 1 Experimental apparatus for measuring absorption coefficients

收稿日期: 1992年12月9日; 收到修改稿日期: 1993年2月11日。

* 本课题得到国家自然科学基金资助。

$$\lg P_{\text{Pa}}(T) = 133.32(A - B/T + CT + D \lg T) \quad (1)$$

式中, $A = 109.05777$, $B = 8756.69$, $C = 0.01105787$, $D = -35.68404$. 计算结果如表 1 所列.

Table 1

Temperature (K)	453	463	473	483	493	503	513	523
Pressure (Pa)	121.3	188.0	285.3	421.2	609.2	879.8	1215.7	1678.2

首先, 将高温 T_H 控制在 620°C, 低温 T_L 取 260°C 到 180°C 的不同温度值, 测到一组吸收系数随波长变化的曲线, 如图 2 所示. 然后, 将低温区控制在 230°C, 高温区取 400°C 到 680°C 的不同值, 也得到一组吸收系数随波长变化的曲线, 如图 3 所示.

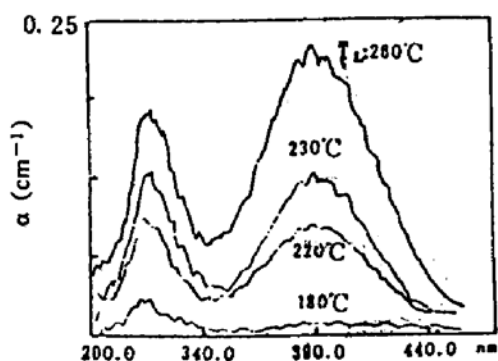


Fig. 2 Absorption coefficients as a function of wavelength when high temperature T_H is 620°C and low temperature T_L is different values

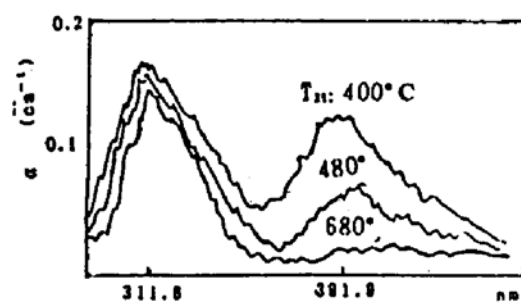


Fig. 3 Absorption coefficients as a function of wavelength when low temperature T_L is controlled at 230°C and high temperature T_H is different values

由图 2, 图 3 可知, 在波长 311.6 nm 附近和 391.9 nm 附近存在两个吸收峰. 下面对这两个吸收峰的归属进行分析. 吸收系数公式^[8]

$$\alpha_\lambda = n_\nu \sigma_\lambda \quad (2)$$

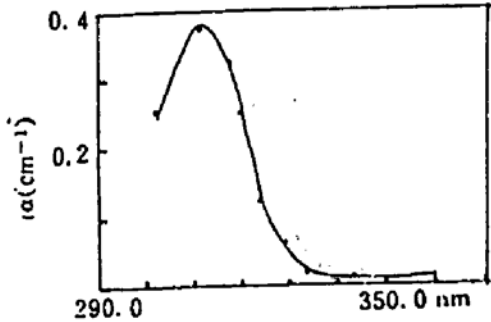


Fig. 4 Calculated absorption coefficient curve

式中 n_ν 为基态 S₂ 分子密度; σ_λ 为 S₂ 受激吸收截面. 利用(2)式进行计算, 得到 S₂ 分子吸收系数曲线, 如图 4 所示. 图 4 说明 S₂ 分子仅在 310.3 nm 处出现一个吸收峰. 又根据 Meyer 的报道^[6], $\lambda = 391.9$ nm 处的吸收峰是由 S₃ 吸收所致, 因此可以判定, S₂ 分子在 190.0~500.0 nm 范围内仅有一个吸收峰.

作为光泵 S₂ 激光器泵浦源选择, 波长最接近 S₂ 分子吸收峰的泵浦激光是 XeCl 准分子激光(308.1 nm), 而 N₂ 分子激光(337.1 nm)、氩离子激光(363.8 nm)波长都相差较远. 因此, 为了提高泵浦效率, 本文采用 XeCl 准分子激光作为 S₂ 分子激光器的泵浦光源.

2.2 小信号增益系数的测量

根据 S₂ 分子激光介质高增益特性, 本文采用反射镜式放大自发辐射法测小信号增益系

数. 实验装置如图 5 所示. 小信号增益系数的测量方程为

$$G_0(\lambda) = \frac{1}{l} \left[\frac{(I_{2l}/I_l) - 1}{r} \right]$$

式中 l 为增益长度; I_{2l}, I_l 分别为加反射镜 M 与不加反射镜 M 时 OMA I 探测到的光强, r 为反射镜 M 的反射率. 利用上述方法测得的高温为 620°C, 低温为 220°C 条件下的 S_2 分子 B-X 态跃迁小信号增益系数 $G_0(\lambda)$, 列入表 2.

Table 2

λ (nm)	300.6	304.6	309.1	313.1	317.6	324.2	328.2	334.8
G_0 (cm^{-1})	0.283	0.376	0.324	0.355	0.386	0.284	0.310	0.458
λ (nm)	338.8	339.8	348.9	355.6	375.5	382.2	393.0	401.3
G_0 (cm^{-1})	0.330	0.415	0.429	0.325	0.379	0.178	0.214	0.359

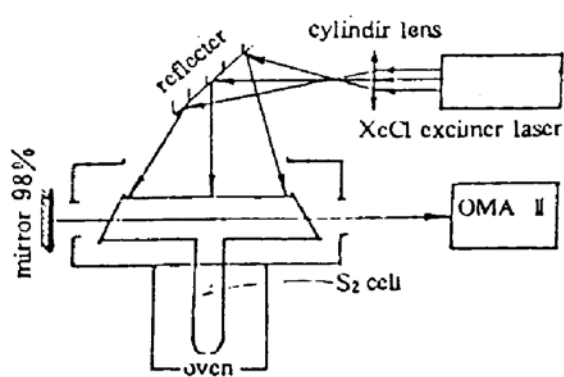


Fig. 5 Experimental setup for measuring small signal gain coefficients

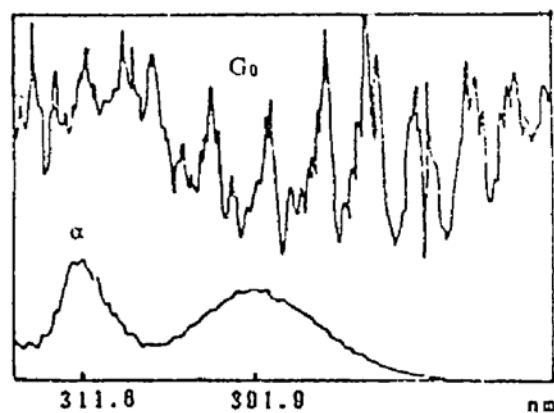


Fig. 6 Curves of small signal gain coefficients and absorption coefficients

为了比较, 图 6 同时给出了实验测得在相同温度条件下的增益系数与吸收系数. 显然在 300.0~400.0 nm 范围内 S_2 的小信号增益系数比吸收系数大很多. 这说明了在这一谱区范围内实现激光振荡的可能性*

2.3 S_2 分子近紫外激光谱的测量

利用 XeCl 激光为泵浦光源, 横向近共振泵浦“T”形结构的硫蒸汽激光管, 获得了至少 6 条近紫外谱带激光输出. 实验装置与图 5 基本相同, 只是在 S_2 激光输出端加一半反半透的腔镜, 与全反镜 M 构成平行平面腔; S_2 激光输出不用 OMA I 而改用 Spex 单色仪加光电倍增管接收, 经 Boxcar 积分平均器处理后由 X-Y 记录仪记录. 图 7 是所测的 S_2 分子 B-X 态跃迁近紫外激光谱. 最短波长是 330.9 nm, 比目前国外已获得的 S_2 分子近紫外激光最短波长短 34.1 nm^[3].

以往 S_2 分子激光器都采用纵向泵浦^[6,7], 泵浦光从图 5 中全反镜 M 端入射进入 S_2 激光管. 这就要求反射镜 M 即要对

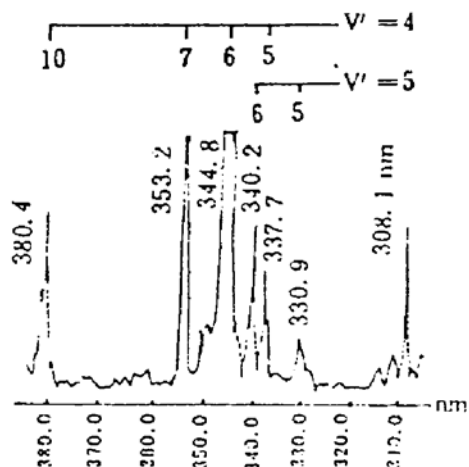


Fig. 7 Near ultraviolet laser spectra of S_2 (B-X) band emission

* 由于 OMA I 系统光谱分辨率为 0.5 nm, 无法分辨转动谱, 因此得到的增益系数随波长连续变化.

泵浦光高透过,又要对 S₂ 激光高反射。由于镀膜的限制,使得利用横向泵浦比纵向泵浦有可能获得更短波长的激光输出。

3 结 论

- 1) 采用 XeCl 准分子激光作 S₂ 分子激光器的泵浦源,最接近吸收峰,可获得最佳泵浦效率;
- 2) 300.0~400.0 nm 范围内增益大于吸收,可获得宽谱区内的近紫外激光增益;
- 3) 采用横向泵浦可获得比纵向泵浦更短波长的激光。

参 考 文 献

- [1] K. P. Killeen, J. E. Epler, J. T. Verheyen, Low temperature operation of an S₂ laser using radio frequency sinter discharges; *IEEE J. Quant. Electron.*, 1983, **QE-19**(7): 1203~1209
- [2] D. A. Peterson, L. A. Schlie, Stable pure sulfur discharges and associated spectra, *J. Chem. Phys.*, 1980, **73**(4):
- [3] S. R. Leone, K. G. Kosnik, A tunable visible and ultraviolet laser on S₂ ($B^3\Sigma^- - X^3\Sigma^-$), *Appl. Phys. Lett.*, 1977, **30**(7): 346~348
- [4] Аи. Н., Несмаянов давление иара химических, синтезированных, с. 367
- [5] B. Meyer, The visible spectrum of S₂ and S₄, *J. Molecu. Spectros.*, 1972, **42**: 335~343
- [6] B. Welleghausen, Optically pumped CW dimer lasers, *IEEE J. Quant. Electron.*, 1979, **QE-15**(10): 1108~1130
- [7] J. E. Epler, J. T. Verheyen, Broad-band gain in optically pumped S₂, *IEEE J. Quant. Electron.*, 1983, **QE-19**(11): 1686~1691
- [8] 周炳琨, 高以智, 陈家骅等 激光原理, 北京, 1984 年 11 月, 国防工业出版社, 171

A Near-Ultraviolet Laser with XeCl Laser Pumped S₂

Zhang Zhonghua Tang Chen Zhang Hua Yu Junhua Ma Zuguang

(Institute of Opto-Electronics, Harbin Institute of Technology, Harbin 150006)

(Received 9 December 1992; revised 11 February 1993)

Abstract The laser oscillation on six spectrum bands of S₂ molecules in near-ultraviolet (330.9~390.0 nm) was obtained. The pumping XeCl excimer laser (308.1 nm) acted on sulfur vapor cell transversely. The absorption coefficients and small signal gain coefficients of S₂ molecules were calculated and measured. The optimum wavelength for pumping S₂ was discussed.

Key words dimer sulfur, laser spectrum, absorption coefficient, small signal gain coefficient